

DE LA RECHERCHE À L'INDUSTRIE

cea

NeuroSpin

UNATI/BrainOmics

www.cea.fr

ANALYSE D'ASSOCIATION GÉNOME/CERVEAU ENTIER

MISE EN ŒUVRE SUR CLUSTER GPU CURIE

Séminaire ASPROM.

Calculs intensifs : modélisation, simulation|

Vincent FROUIN, Benoit da MOTA

30 SEPTEMBRE 2014



CEA: EPIC, 5 directions dont:
DSV: Direction des sciences de la vie

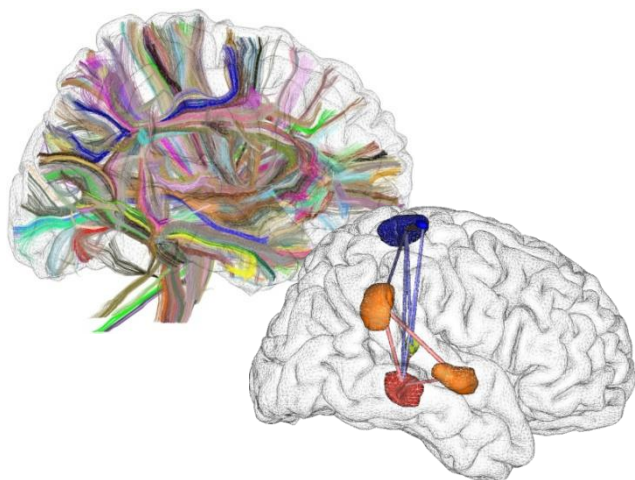


NeuroSpin: Centre de neuroimagerie
- IRM haut champ :

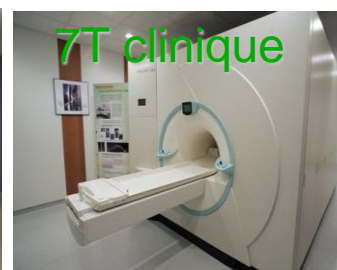


NeuroSpin

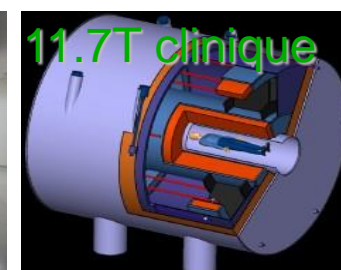
- IRM haut champs
- **UNATI:** Analyse d'image/statistique



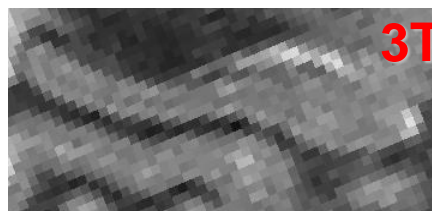
3T clinique



7T clinique

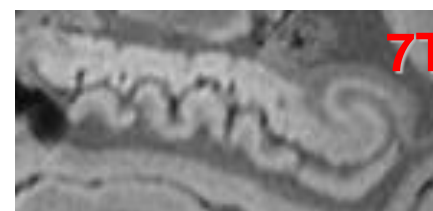


11.7T clinique



3T

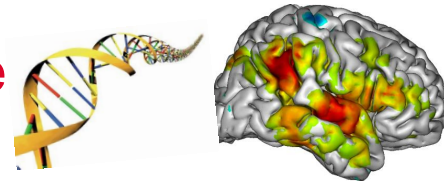
1000umx1000umx1000um



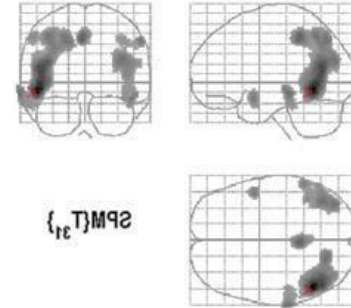
7T

300umx300umx300um

Introduction à l'imagerie génétique



Etudes d'association
génomique-entier, cerveau-entier

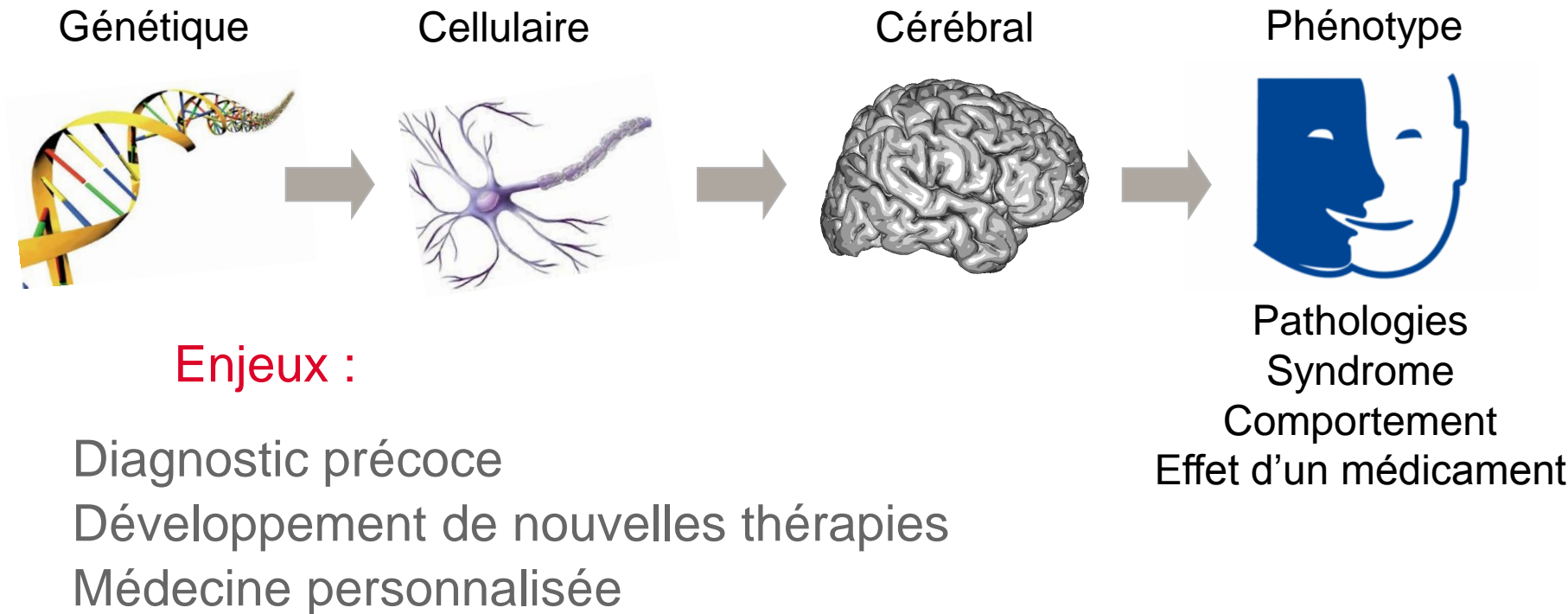


Éléments d'implantation des calculs

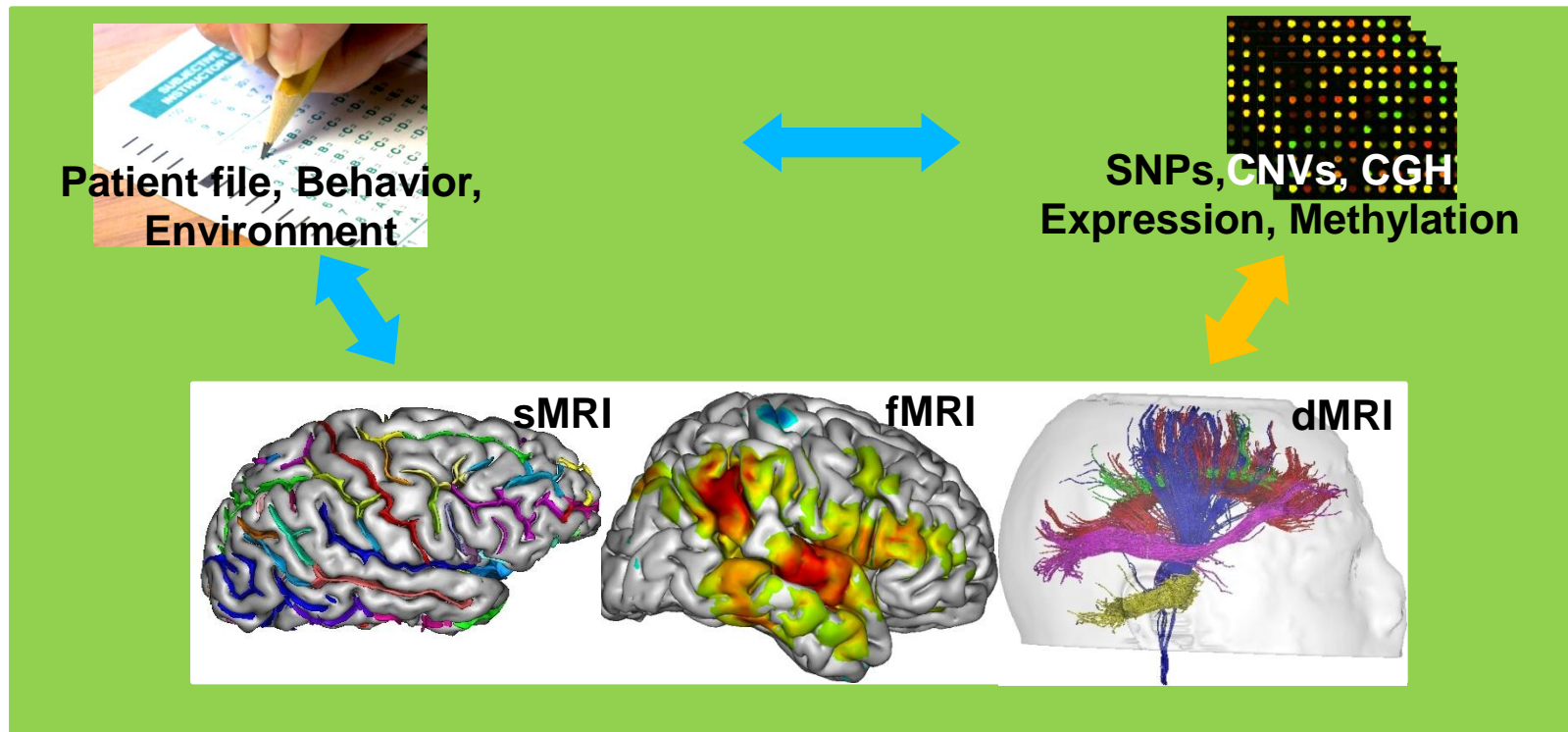


Résultats

Compréhension des processus biologiques impliqués dans les maladies cérébrales



- Un outil pour l'identification de nouveaux biomarqueurs (via les endophénotypes d'imagerie)
- Un outil pour aborder des questions de recherches fondamentales ou appliquées
 - Intégration des mesures obtenues à différents niveaux d'organisation
 - Révéler les réseaux d'interactions moléculaires sous-jacents



FP6 IMAGEN: PI G Schumann KCL

- Partenaires: Hamburg, Dresden, Dublin, Paris
Mannheim, Berlin, Nottingham, London,



Projet intégratif et translationnel

(modèles animaux)

- Cohorte 2000 adolescents (14 ans à l'inclusion)
 - “**Brain**” : IRM anatomique,
IRM fonctionnelle (MID, SST, Faces, RS)
IRM Diffusion
 - Questionnaires “**Personality**”, “**Life History**”, “**Demographics**”
 - Genotypage : **SNPs** (+ partiel GE, Methylation)

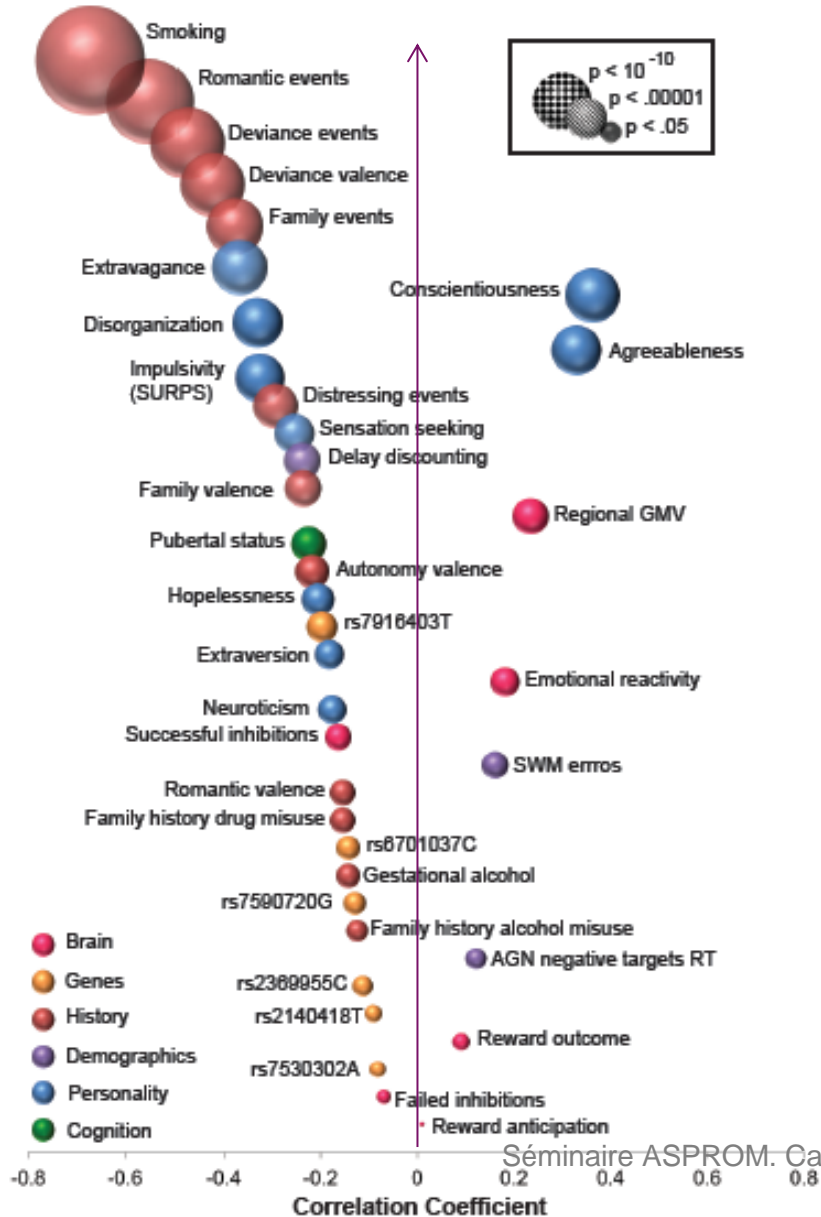
<http://www.imagen-europe.com/>

Suivi Longitudinal

Initial (images, snp, tests), Suivi1 à 16 ans (tests only), Suivi2 à 20 ans (images, tests)

- ... “The IMAGEN study is the first multicentre genetic-neuroimaging study aimed at identifying the genetic and neurobiological basis of individual variability in impulsivity, reinforcer sensitivity and emotional reactivity, and determining their predictive value for the development of frequent psychiatric disorders.” 2010 G Schumann *et al.* Mol Psy

cea COHORTE DE NEUROIMAGERIE GÉNÉTIQUE À NEUROSPIN



LETTER **nature**

Neuropsychosocial profiles of current and future adolescent alcohol misusers

Nature, 512(7513) : 185-189, 2014

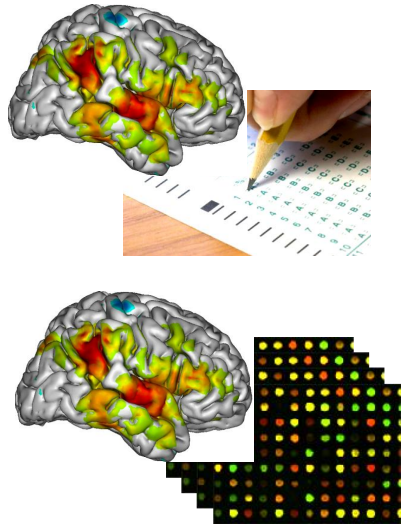
Bindge Drinking à 14 ans.

- Identification de variables caractéristiques (Brain, Personality, History, Genetics)
- Relation entre le fait d'appartenir à une catégorie (buveur/non-buveur) et certaines variables caractéristiques de l'étude IMAGEN.
- Approche : Classification par Machine Learning, Stabilité évaluée par bootstraps



FP6 IMAGEN and FollowUps: PI G Schumann KCL

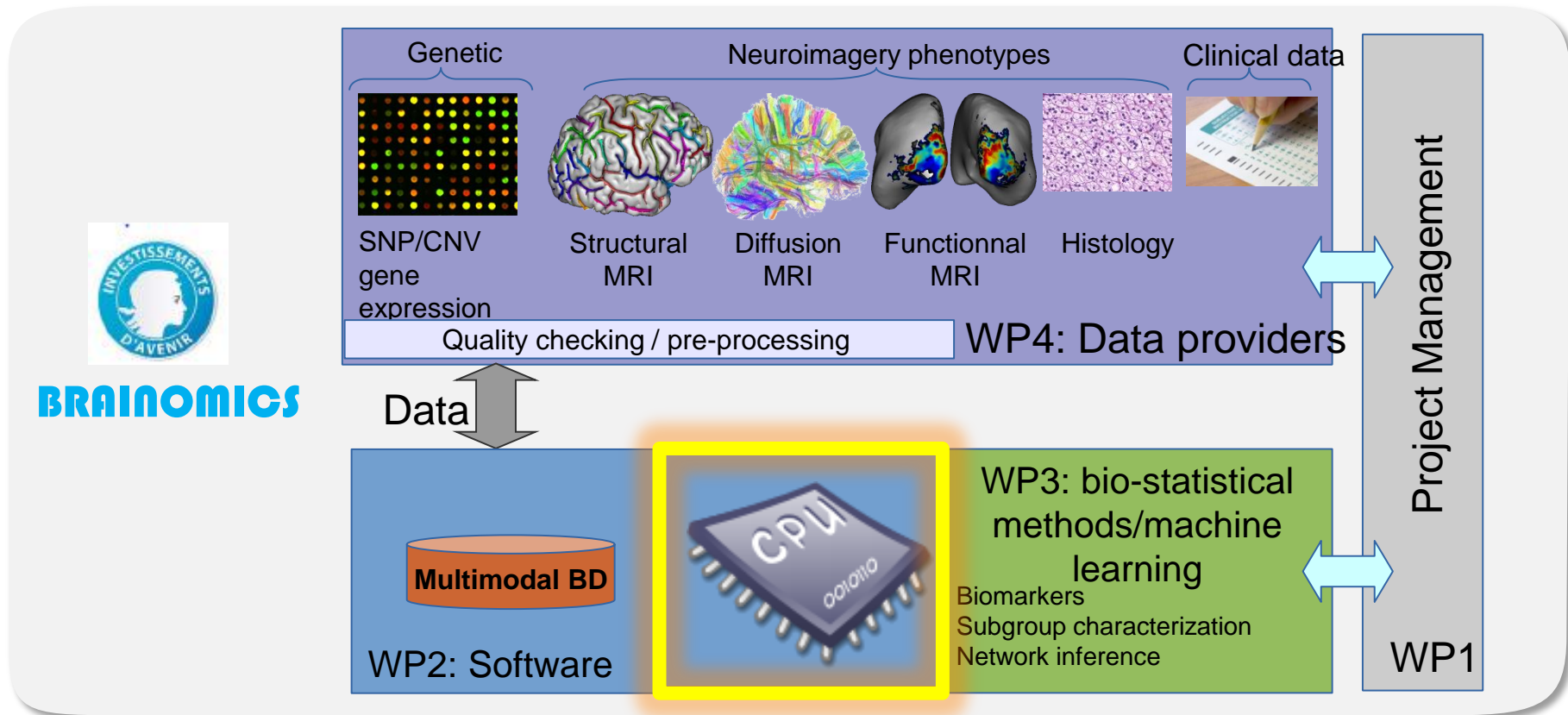
■ Voir publications (Pubmed keyword « IMAGEN CONSORTIUM »)



- **Associations** entre traits neuropsych. et imagerie
 - patterns structuraux, réseaux fonctionnels,
- **Associations** traits neuropsych./imagerie et génétique
 - Gene candidat, Etude Génome entier
 - Héritabilité : meta-analyse (ENIGMA1), et analyse multivariée
- **Méthodologie** (Collab. CEA-INRIA Parietal, Supélec, ICM):
 - Détection d'outliers
 - **Approches univariées pour imagerie génétique,**
 - Approches multivariées pour imagerie génétique,
 - Biostatistiques dédiées aux données $p \gg n$

Méthodes mathématiques et outils informatiques pour la découverte des liens imagerie / génétiques

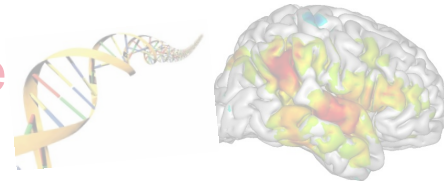
■ Appel d'offre IA Bioinformatique 2010 →



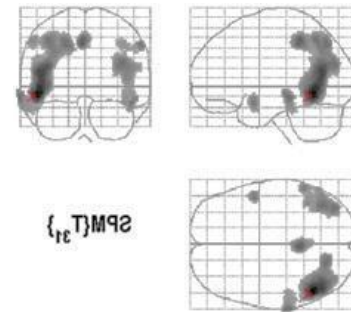
WP1: Neurospin; Keosys
WP2: Logilab; **EOLEN**; **NeuroSpin**;

WP3: Neurospin; Supelec
WP4: St Anne; IGR; Neurospin

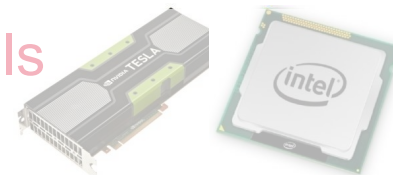
Introduction à l'imagerie génétique



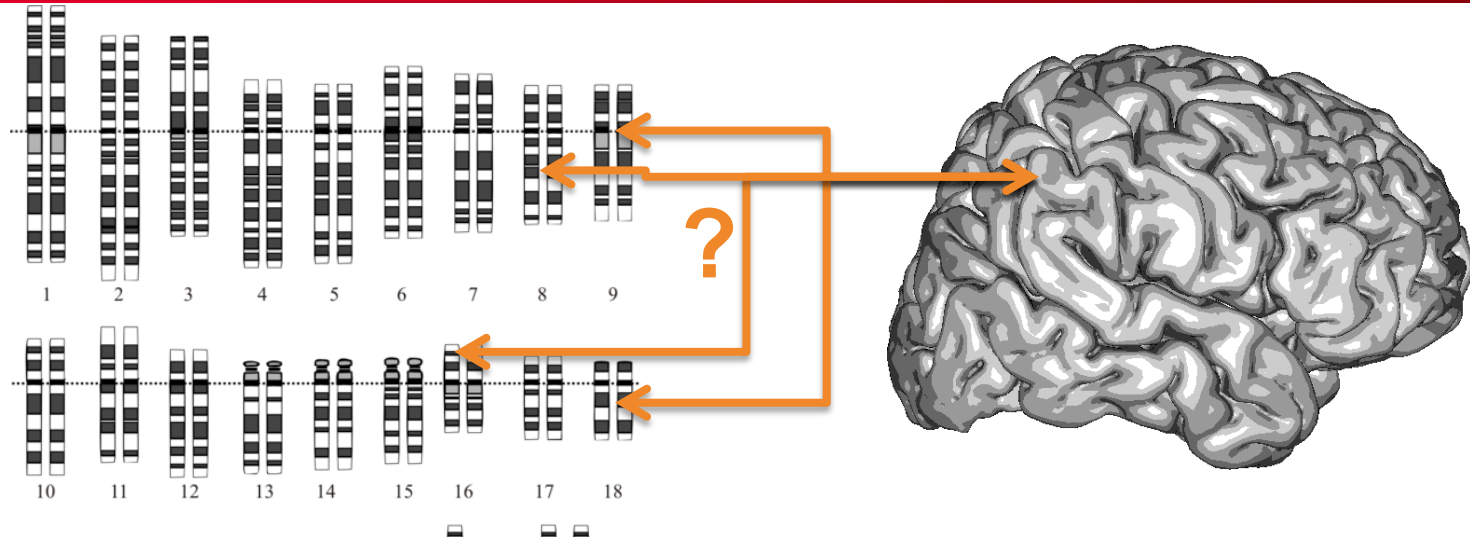
Etudes d'association
génomique-entier, cerveau-entier



Éléments d'implantation des calculs



Résultats



Applications à l'épaisseur corticale

- Utilisée pour l'étude des pathologies (MA) de phénotypes (IMC, exposition à l'alcool)
- Avec ~2000 sujets : Puissance statistique permet d'aller au-delà de Gene Candidat (~80)

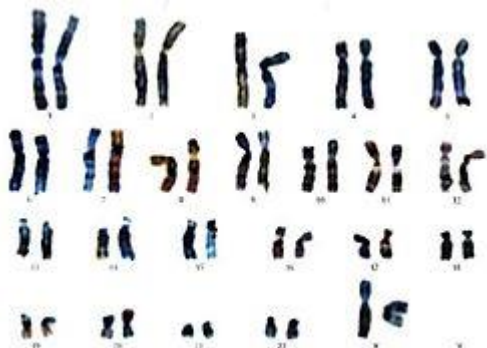
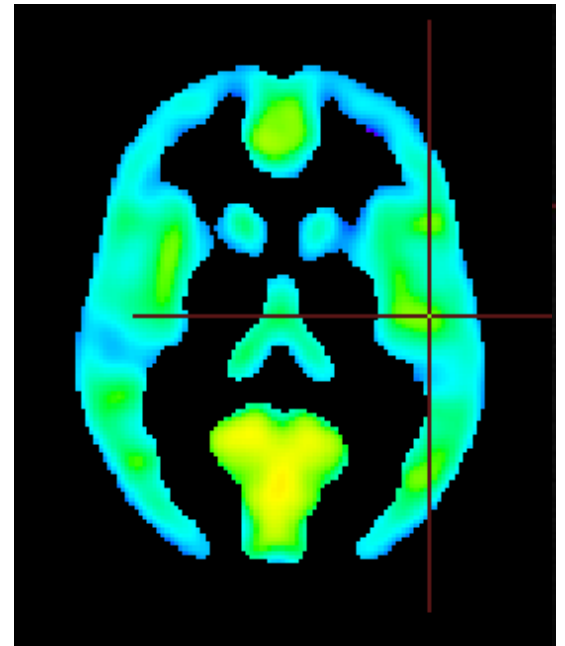
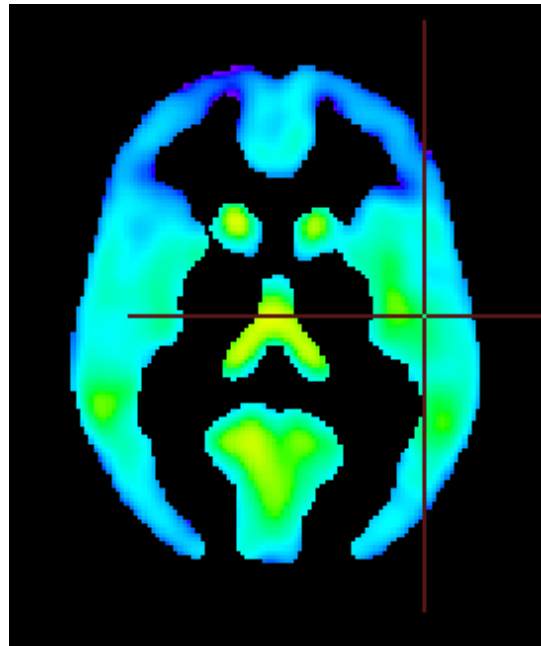
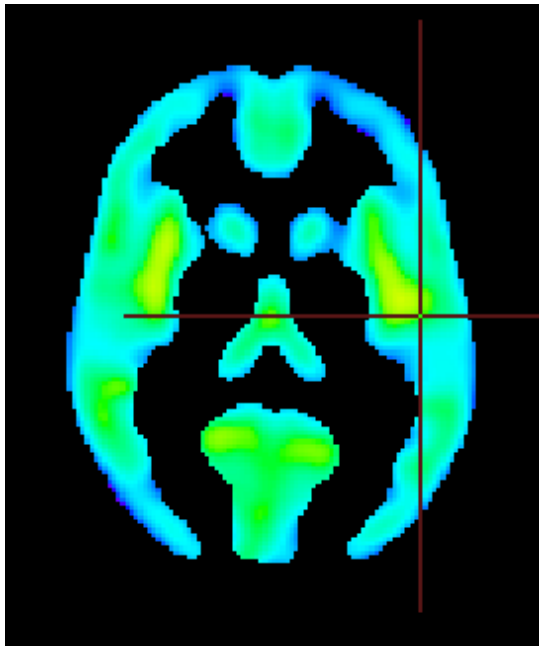
➔ Existe-t-il des variants de prédisposition ?

- Permettrait de stratifier les sujets dans les études cliniques ou fondamentales.

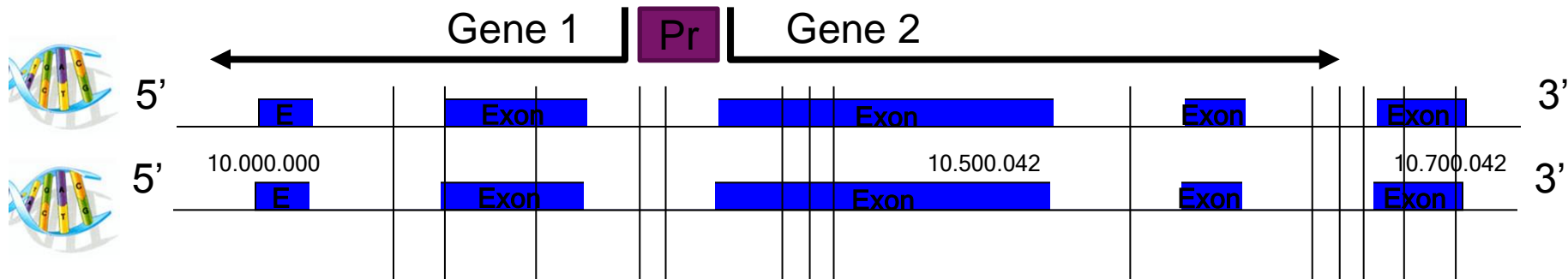
Méthodologie princeps : Stein 2010 NeuroImage

- Problème 1 : Met en œuvre un code non optimisé sur cluster
- Problème 2 : Pas de correction empirique pour les tests multiples.

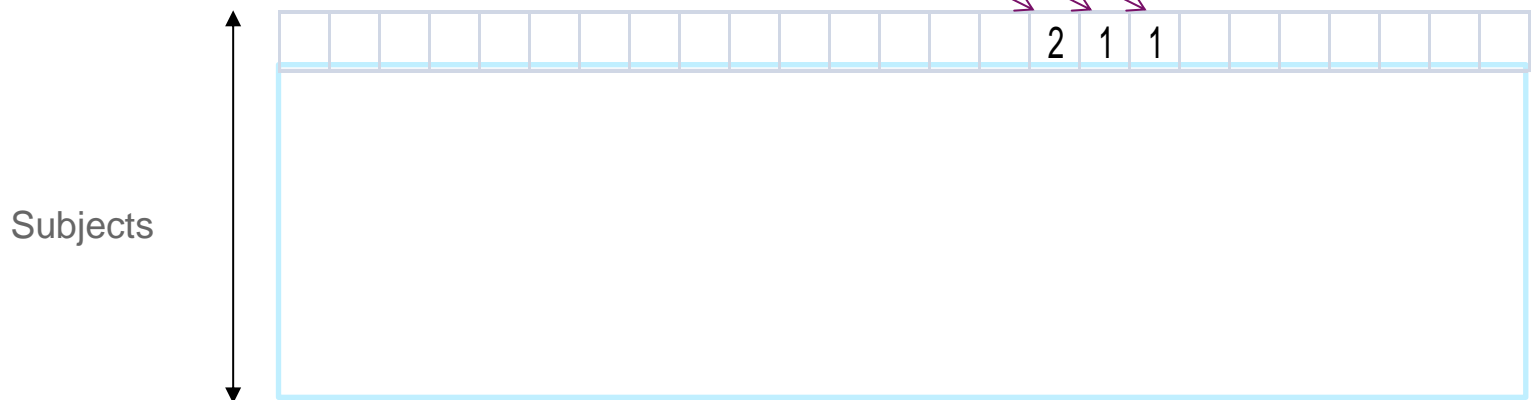
VBM matière grise : variation individuelle rapportée à un atlas (MNI)

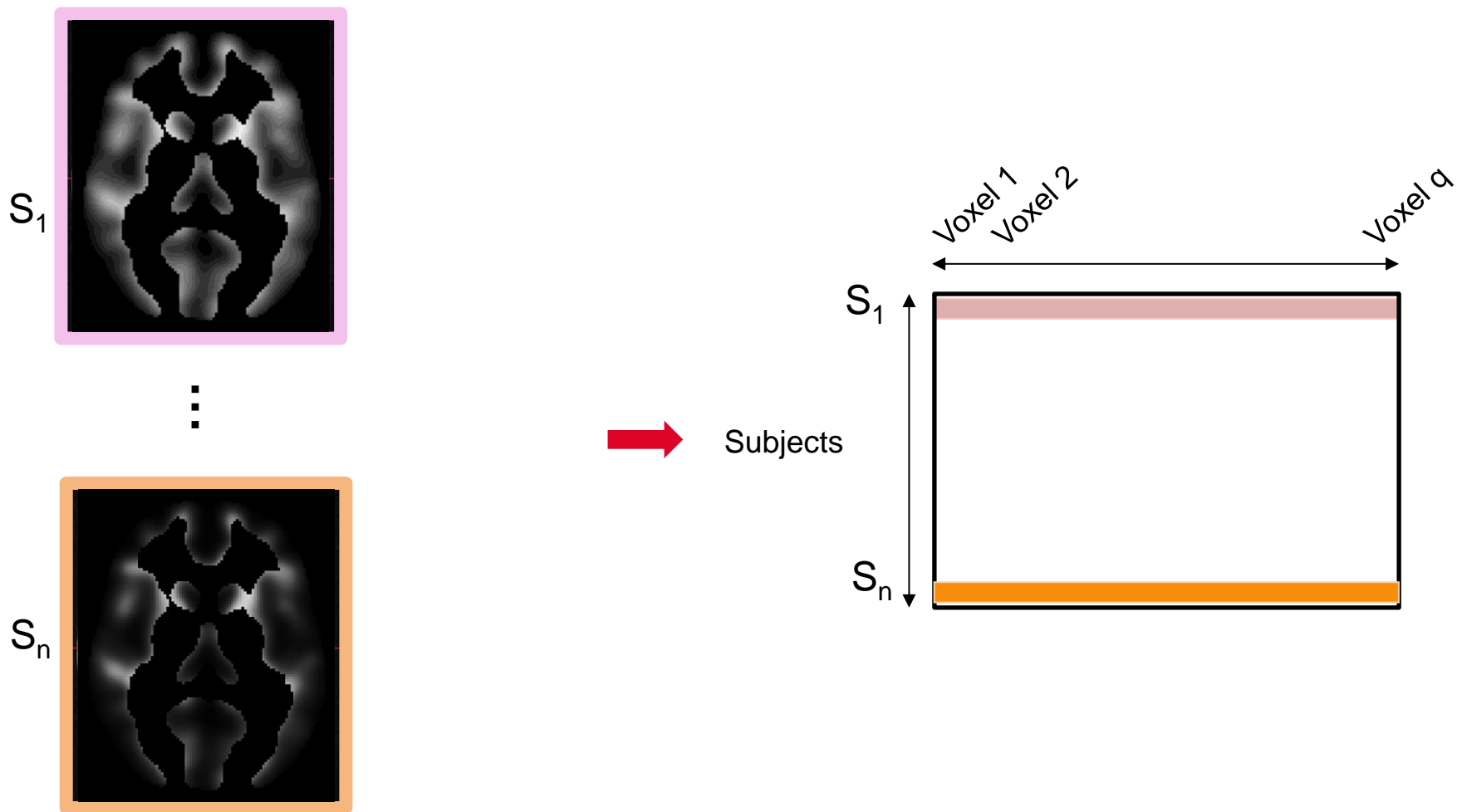


Single Nucleotide Polymorphism : 90% des variations de l'ADN (~10M loci)



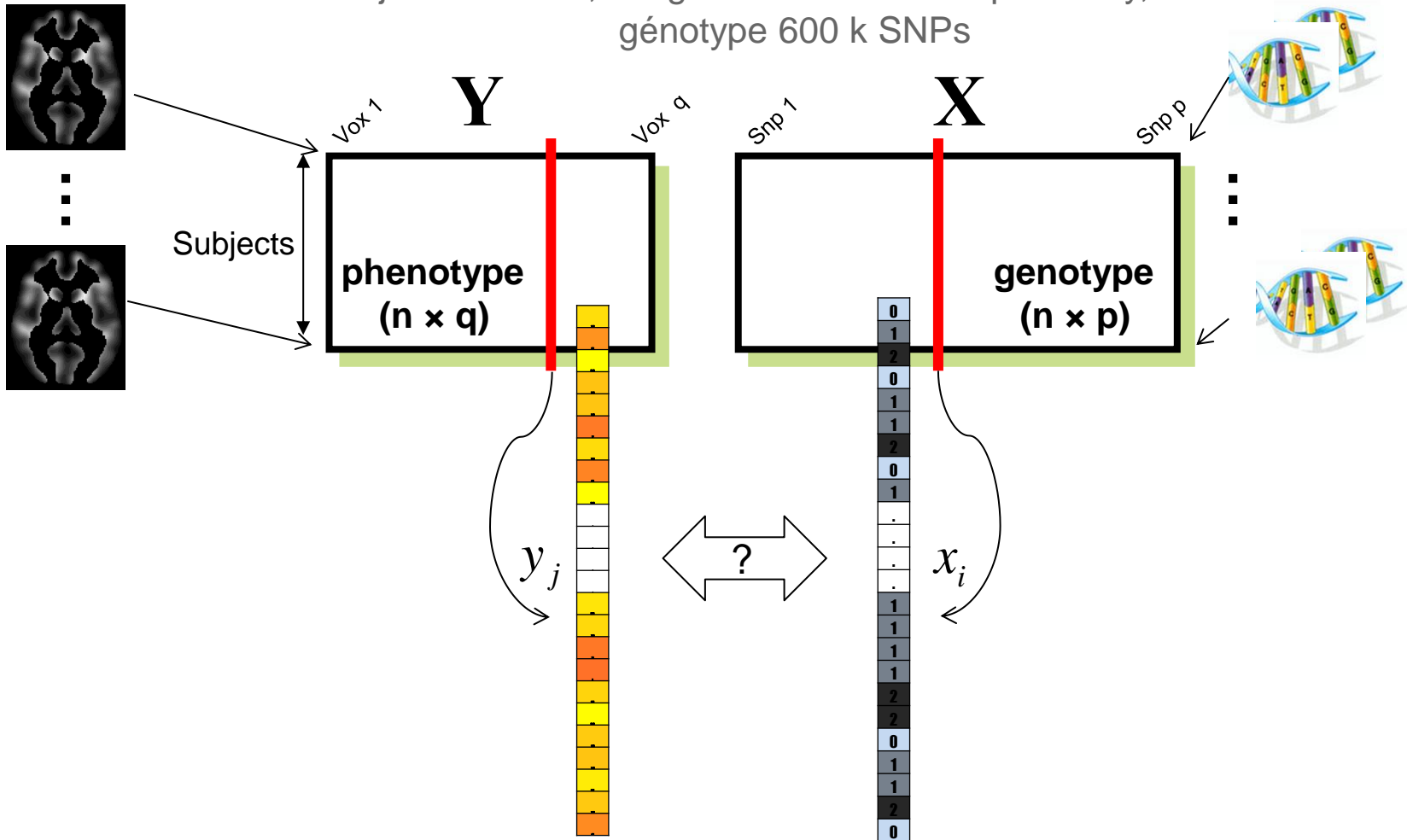
Configuration HOMOZYGOTE, homozygote ou hétérozygote : **0,2,1**





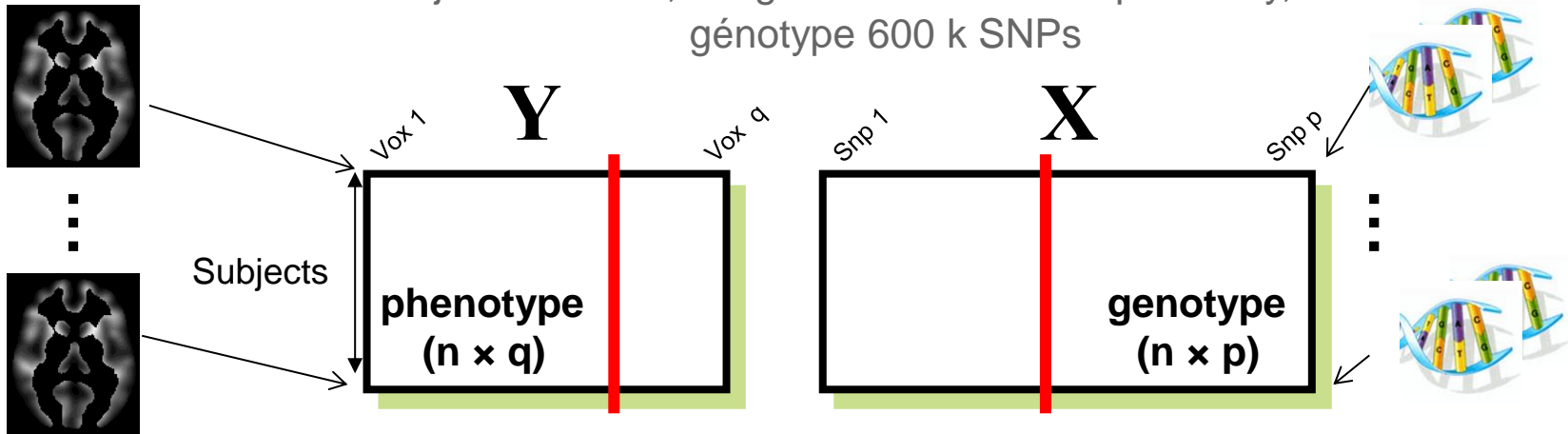
Construction des cartes statistiques des associations SNPs ↔ caractéristiques d'imagerie

2000 sujets normaux, images VoxelBasedMorphometry,
génotype 600 k SNPs



Construction des cartes statistiques des associations SNPs ↔ caractéristiques d'imagerie

2000 sujets normaux, images VoxelBasedMorphometry,
génotype 600 k SNPs

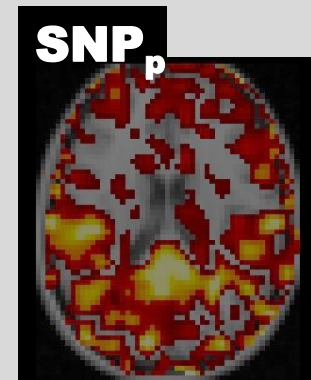


**Carte → Cerveau-Entier,
SNPs → Génome-Entier**

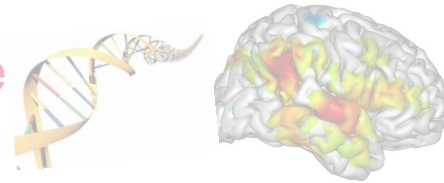
Dosage allélique

$$y_j = \beta_{jk} x_k + \epsilon$$

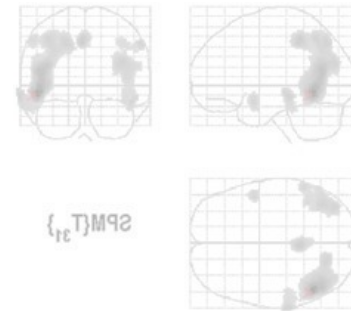
$$j = 1, \dots, q \quad k=1, \dots, p$$



Introduction à l'imagerie génétique



Etudes d'association
génomique-entier, cerveau-entier



Éléments d'implantation des calculs



Résultats

$$Y = x\beta + Z\gamma + \epsilon$$

IRM génomique covariables "bruit"

Jeu de données ciblé 1292 sujets :

- 336,188 voxels (matière grise cérébrale), 466,125 SNPs , 10 covariables
- Correction empirique pour les tests multiples : distrib. des scores sous H_0

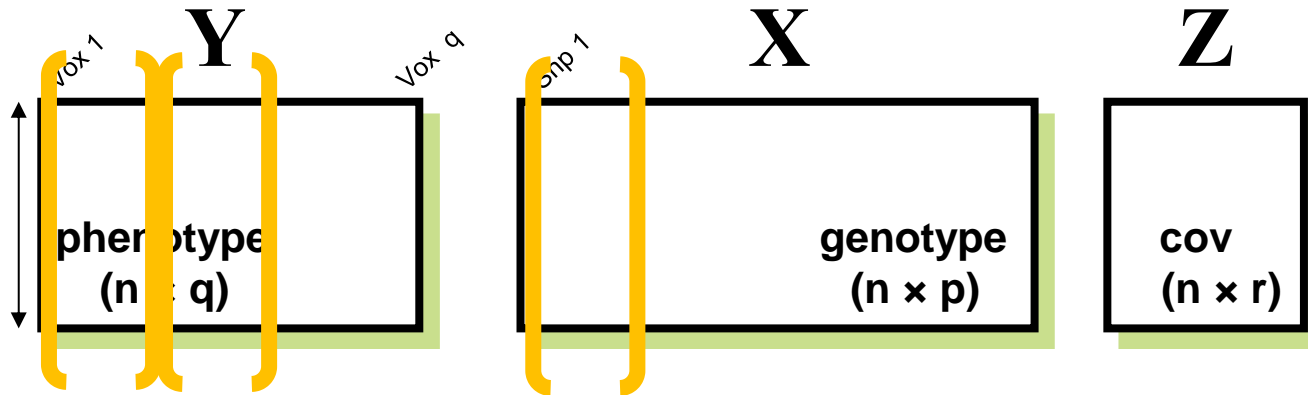
→ **Corrélations** 1 à 1 sur données observées ET
Refaire ce calcul sur 10 000 permutations

- $1,5 \times 10^{15}$ corrélations permettant de calculer un F-score d'association.
- $8 \times 1,5 \times 10^{15} = 12 \text{ Po}$ (12000 disques durs de 1To ou 2.5M de DVDs)
- Seuls les meilleurs scores devront être gardés (0.1 à 0.01%)
- Filtrage sur le GPU

ALGORITHMIQUE : ASPECTS SÉQUENTIELS

$$Y = x\beta + Z\gamma + \epsilon$$

IRM génomique covariables "bruit"



1

Sur CPU calcul du résidu de Y par rapport à Z

2

Pour chaque permutation, calcul d'un terme correctif.

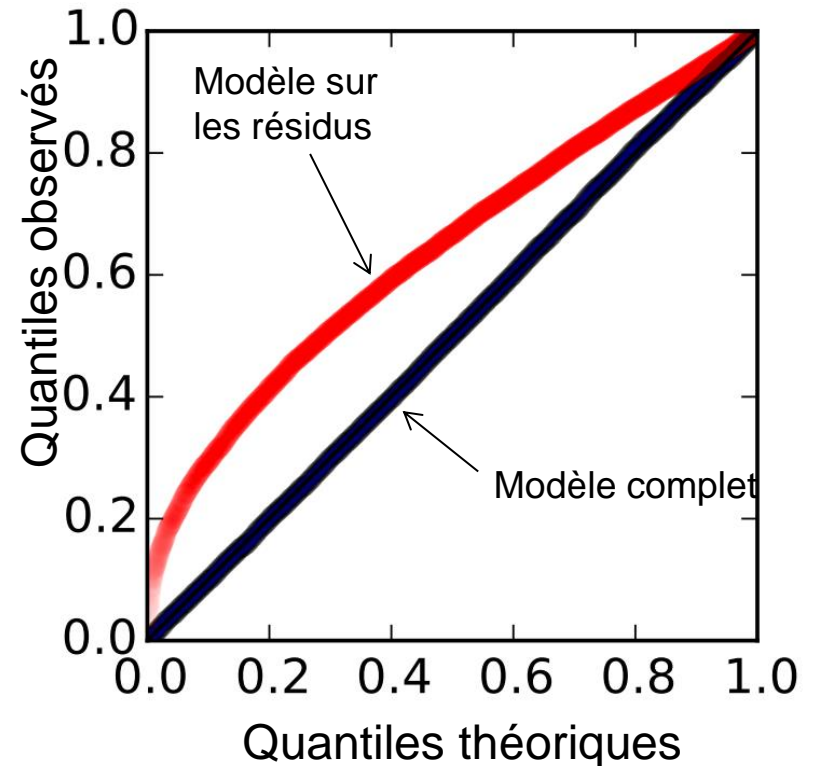
M. J. Anderson and J. Robinson. (2001),



3

Corrélations calculées sur des sous-blocs de X et Y, 10,000 permutations et calcul de corrélation correspondant

- Modèle complet:
trop couteux en temps de calcul
- Modèle sur les résidus:
mauvais contrôle des faux positifs
- Solution:
approximation de Freedman and Lane



Permutation tests for linear models. M. J. Anderson and J. Robinson. (2001), Australian and New Zealand Journal of Statistics, (43):75–88, 2001.

A nonstochastic interpretation of reported significance levels. D. Freedman and D. Lane. (1983) Journal of Business & Economic Statistics, 1(4):292{98, 1983}.

Algorithm Fit the model $Y = x\beta + Z\gamma + \epsilon$ for all x in $X = [x_1, \dots, x_q]$ and get a score for each pair (SNP, voxel)

Require: The data Y , the X and Z regressor matrices

if first regression **then**

$$Z_w \leftarrow (Z^T Z)^{-1/2} Z \text{ \{whitening\}}$$

$$Y_{norm} \leftarrow Y \Delta_1^{-1} \text{ with } \Delta_1 = \text{diag}(\|Y_i\|, i = 1 \dots p) \text{ \{p number of voxels\}}$$

$$X_{norm} \leftarrow X \Delta_2^{-1} \text{ with } \Delta_2 = \text{diag}(\|x_i\|, i = 1 \dots q) \text{ \{q number of SNPs\}}$$

$$R_{Y|Z} \leftarrow Y_{norm} - Z_w \hat{\beta}_1 \text{ with } \hat{\beta}_1 = Z_w^T Y_{norm} \text{ \{residuals\}}$$

$$R_{X|Z} \leftarrow X_{norm} - Z_w \hat{\beta}_2 \text{ with } \hat{\beta}_2 = Z_w^T X_{norm} \text{ \{residuals\}}$$

$$\text{cache} \leftarrow Z_w, R_{Y|Z}, R_{X|Z}$$

else

$$Z_w, R_{Y|Z}, R_{X|Z} \leftarrow \text{cache}$$

end if

$$\hat{\beta} \leftarrow R_{X|Z}^T R_{Y|Z}$$

$$\hat{\gamma} \leftarrow Z_w^T R_{Y|Z} \text{ \{for Freedman and Lane approximation\}}$$

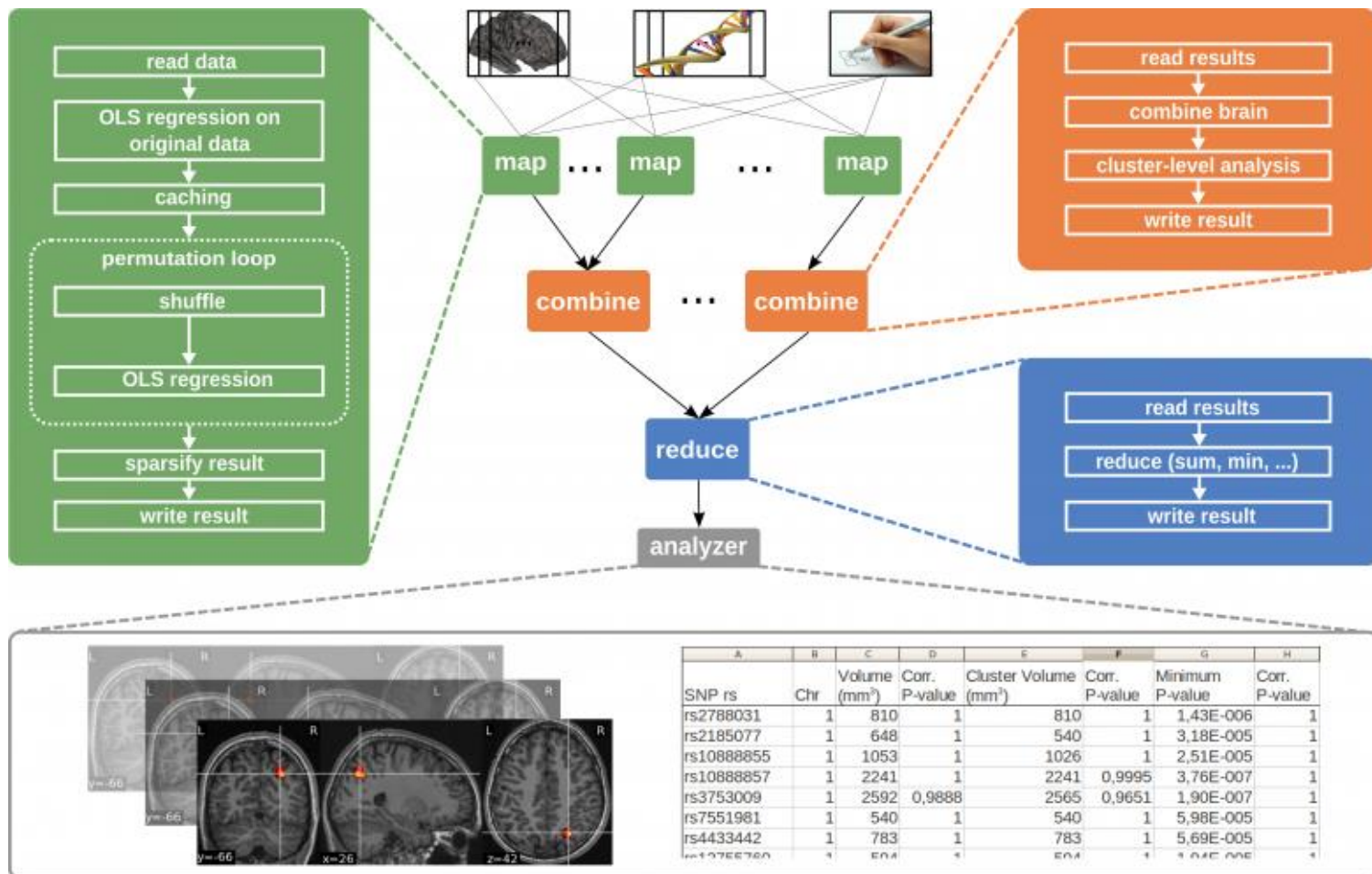
$$\text{F-scores} \propto \frac{\hat{\beta}^2}{1 - \hat{\beta}^2 - \hat{\Gamma}^2} \text{ with } \hat{\Gamma}^2 = \sum_{i=1}^r \hat{\gamma}_i^2 \text{ \{r = number of confounding variables\}}$$

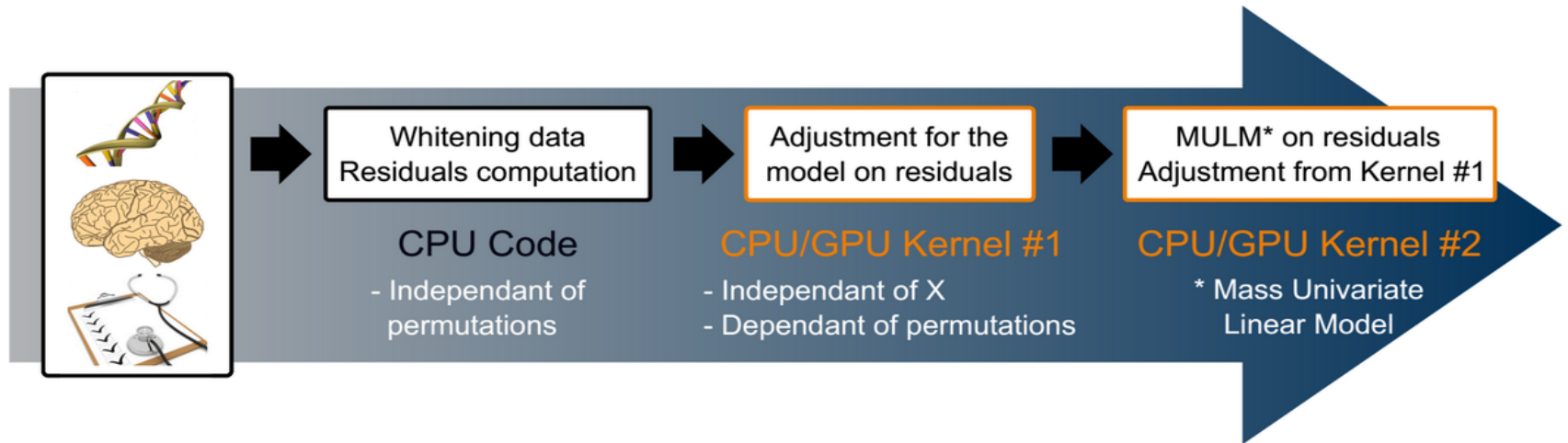
return $\hat{\beta}$, F-scores

CPU

GPU

Stratégie Map-Reduce





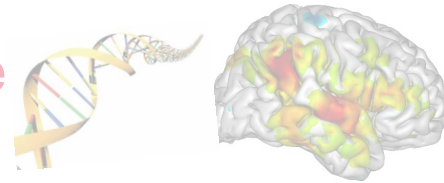
Généralités

- Code CPU en Python
- Code GPU en CUDA C
- Kernel #1 et #2 en Python pour la version hétérogène
- MapReduce avec Soma-Workflow

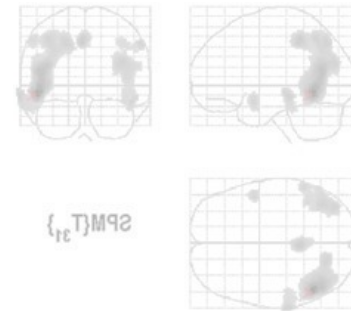
Spécifiques aux GPU

- Permutations réalisées en mémoire partagée (shared) pour maximiser la réutilisation (kernel #2)
- Optimisations : alignements en cache et accès coalescents
- Code réglé finement pour l'architecture cible

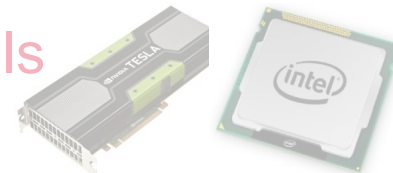
Introduction à l'imagerie génétique



Etudes d'association
génomique-entière, cerveau-entier

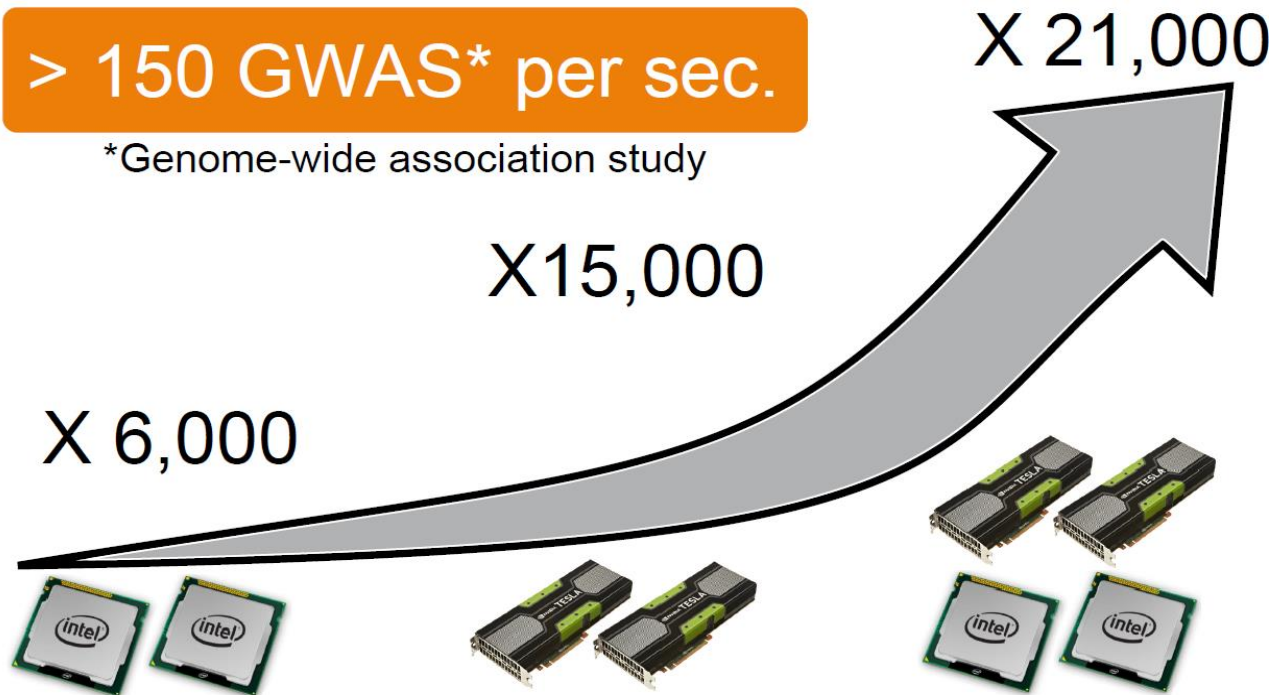


Éléments d'implantation des calculs



Résultats

PERFORMANCES SUR NŒUD GPU



Comparaison avec ***Voxelwise genome-wide association study (vGWAS)***,
Stein J.L et al. (2010), NeuroImage 2010, 53(3), pp. 1160-74, PMID:20171287.

Pour le jeu de données ciblé, nous avons utilisé la tranche hybride (GPU) du supercalculateur Curie (PRACE Preparatory Access)

- Plus grand calcul de neuroimagerie-génétique jamais réalisé
Gestion multi-machines à l'aide de soma-workflow
18 tâches de 3 h 20, jusqu'à 200 GPU simultanément
Une durée totale de 60 h, l'équivalent de 12000 h sur 1 GPU
Post-traitements également réalisés sur Curie
- 2 associations significatives qui demandent de plus amples investigations

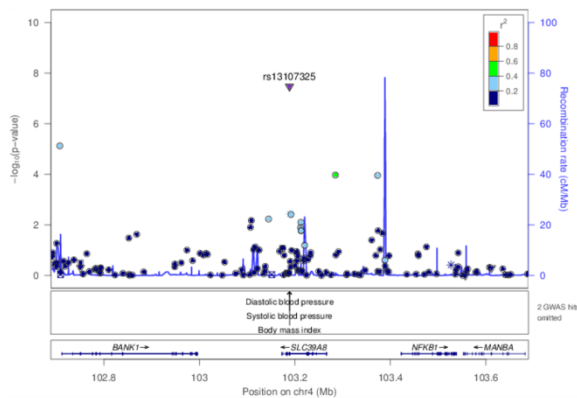


Nœuds Curie Hybrid

2 × Intel Xeon E5640
2 × Nvidia M2090



SNP : rs13107325

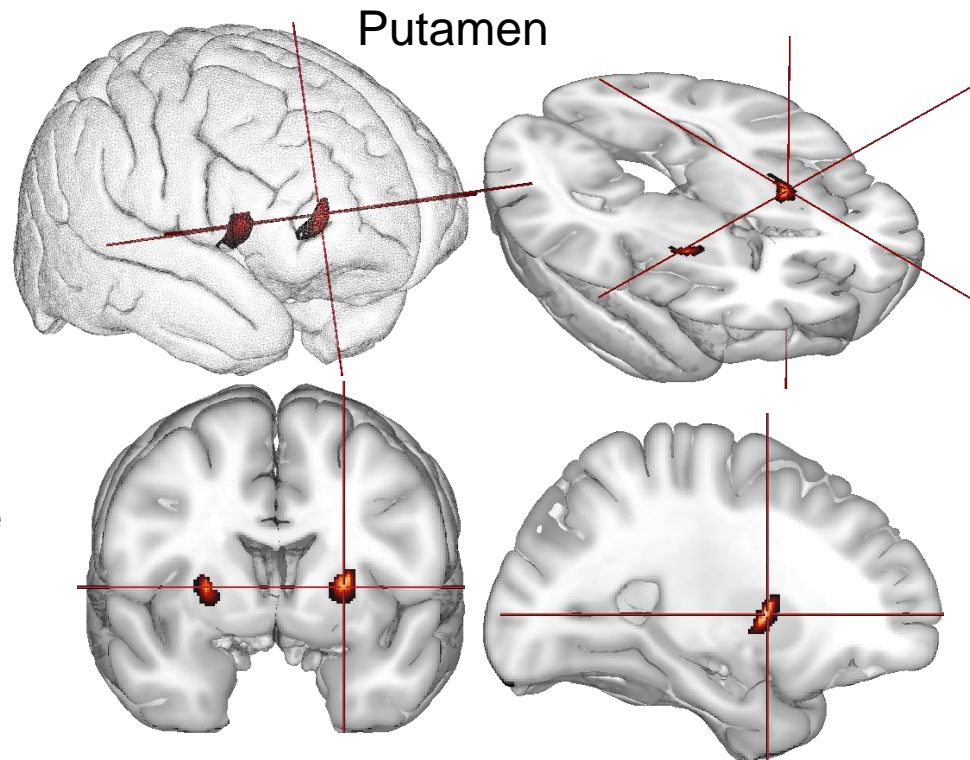


Chromosome 4q22 dans exon 8 du gene
SLC39A8 (ZIP8) (metal ions transporter)

Obésité [Speliote 2011, Juonala 2011]
Schizophrénie [Carrera 2012]



TOC [De Wit 2014]
Schizophrénie [Van Erp 2014]



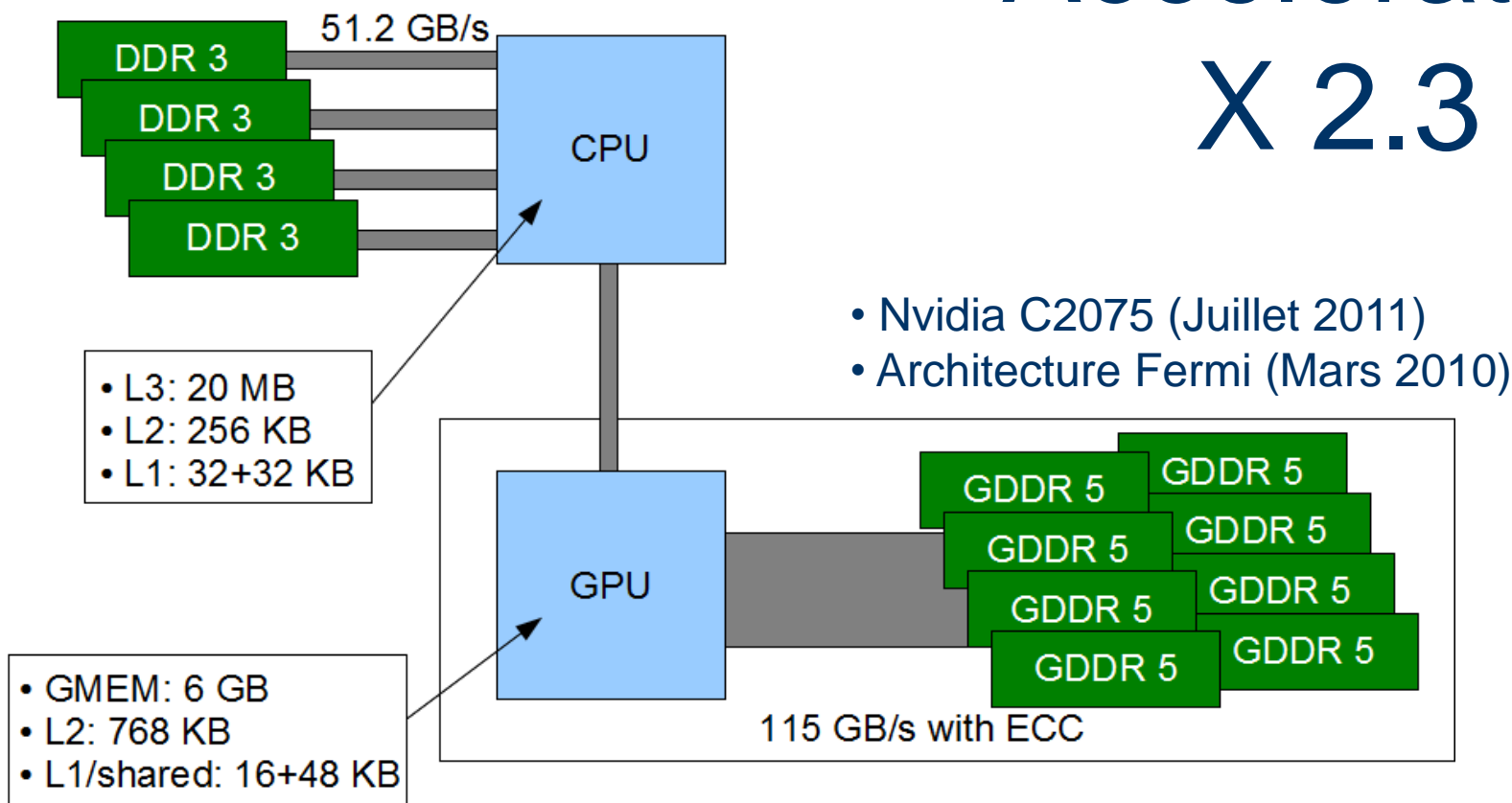
LE CALCUL GPU: UNE ÉVIDENCE ?

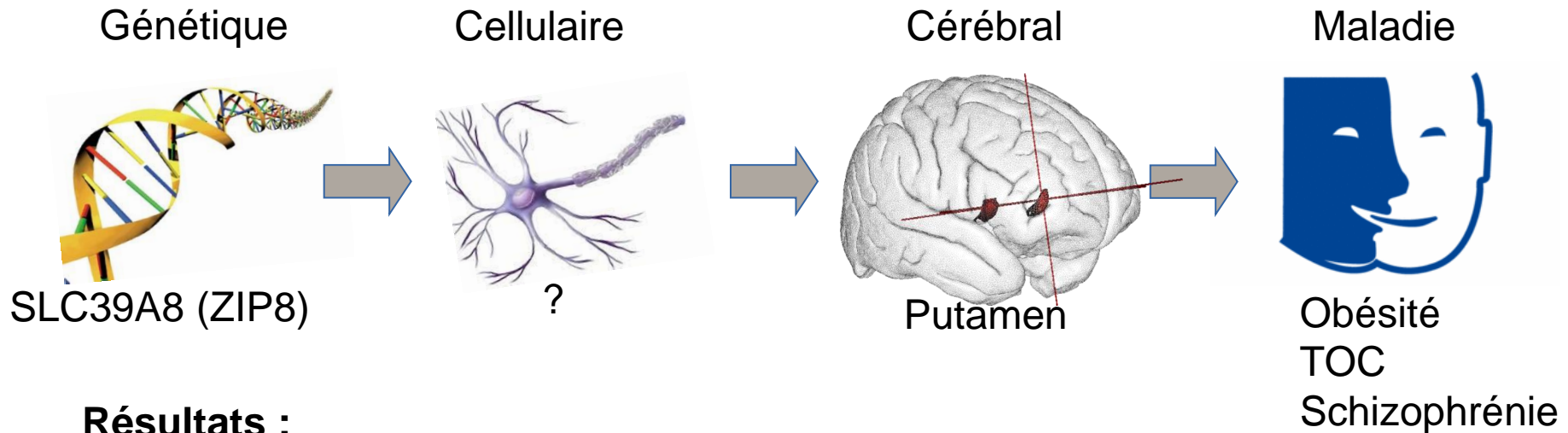
Green500 Rank	MFLOPS/W	Site*	Computer*	Total Power (kW)
1	4,503.17	GSIC Center, Tokyo Institute of Technology	TSUBAME-KFC - LX 1U-4GPU/104Re-1G Cluster, Intel Xeon E5-2620v2 6C 2.100GHz, Infiniband FDR, NVIDIA K20x	27.78
2	3,631.86	Cambridge University	Wilkes - Dell T620 Cluster, Intel Xeon E5-2630v2 6C 2.600GHz, Infiniband FDR, NVIDIA K20	52.62
3	3,517.84	Center for Computational Sciences, University of Tsukuba	HA-PACS TCA - Cray 3623G4-SM Cluster, Intel Xeon E5-2680v2 10C 2.800GHz, Infiniband QDR, NVIDIA K20x	78.77
4	3,208.83	CINECA	Eurora - Eurotech Aurora HPC 10-20, Xeon E5-2687W 8C 3.100GHz, Infiniband QDR, NVIDIA K20	30.70
5	3,185.91	Swiss National Supercomputing Centre (CSCS)	Piz Daint - Cray XC30, Xeon E5-2670 8C 2.600GHz, Aries interconnect, NVIDIA K20x	1,753.66
6	3,130.95	ROMEO HPC Center - Champagne-Ardenne	romeo - Bull R421-E3 Cluster, Intel Xeon E5-2650v2 8C 2.600GHz, Infiniband FDR, NVIDIA K20x	81.41
7	3,068.71	GSIC Center, Tokyo Institute of Technology	TSUBAME 2.5 - Cluster Platform SL390s G7, Xeon X5670 6C 2.930GHz, Infiniband QDR, NVIDIA K20x	922.54
8	2,702.16	University of Arizona	iDataPlex DX360M4, Intel Xeon E5-2650v2 8C 2.600GHz, Infiniband FDR14, NVIDIA K20x	53.62
9	2,629.10	Max-Planck-Gesellschaft MPI/IPP	iDataPlex DX360M4, Intel Xeon E5-2680v2 10C 2.800GHz, Infiniband, NVIDIA K20x	269.94
10	2,629.10	Financial Institution	iDataPlex DX360M4, Intel Xeon E5-2680v2 10C 2.800GHz, Infiniband, NVIDIA K20x	55.62
46	1,247.57	Météo France	■ ■ ■ Bullx DLC B710 Blades, Intel Xeon E5 v2 12C 2.700GHz, Infiniband FDR	401.00

Novembre 2013 : les 10 machines les plus efficaces utilisent des GPU Nvidia k20

- Intel Xeon E5-2620 (Avril 2012)
- Architecture Sandy Bridge (Janvier 2011)

Accélération X 2.3





Résultats :

- Marqueurs génétique → Imagerie → pathologies

Perspectives neurosciences :

- Mécanismes cellulaires / effet sur le putamen
- Expression de ce gène dans le putamen (Allen atlas)
- Liens avec les pathologies

Perspectives méthodologiques : Code GW-BW sur GPU disponible opensource



**BRAINOMICS
IA Bioinfo 2010**



**E Duchesnay, V Guillemot
V Frouin T Löfstedt**



A Tenenhaus



**LPMP,UMR 894, INSERM
A Cachia, MO Krebs**



**UMR CNRS 8203-IGR
C Philippe, J Grill**



**B DaMota, I Cadenne,
S Monot, V Ducrot**



V Michel, O Cayrol



Ph Tervé, J Beranger



Li J



Li J, B Da Mota

BrainOmics team:

E Duchesnay
D Papdopoulos
V Frouin

F Hadj-Selem, V Guillemot,
T Lofstedt, C Philippe, J Le

JB Poline
B. Thyreau, A Barbot, Y Schwarz
C Lanquetuit, D Goyard

Collaborations:

IMAGEN cons. EU-AIMS cons. (D Goyard)
ANR/Brainomics ANR/Genim

NeuroSpin PF. (A. Grigis)
LNAO(JF Mangin), PARIETAL (B Thirion)

